

表格的要求：(图表请分别放在对应的正文段落，不要放文末)

1. 统一使用**三线表**（顶线、表头线、底线），必要时可加**辅助线**。
2. 其表题、表头、表注等内容必须用**中、英文双语**标注。**所有表格要在正文中叙述**。
3. 表格的序号按照在文中出现的先后次序连续编码。核实表格序号与正文叙述部分是否一一对应。所用文字、符号、单位要与正文一致。
4. 表格中的数据精确度（小数点后位数）请保持一致，并按照相关规则进行**四舍五入**，一般情况下，小数点后的数字最多不超过3位。

表 3 饲料中添加不同水草粉对克氏原螯虾成活率、生长性能、肝胰腺指数和性腺指数的影响

Tab. 3 Effects of dietary supplementation with different aquatic weed meals on the survival rate, growth performance, hepatosomatic index and gonadosomatic index of *P. clarkii* (n=15)

项目 Items	组别 groups					
	Diet 1	Diet 2	Diet 3	Diet 4	Diet 5	Diet 6
成活率/% SR	73.33±1.29 ^{ab}	80.00±0.00 ^b	73.33±1.29 ^{ab}	70.00±0.00 ^a	73.33±1.29 ^{ab}	66.67±1.29 ^a
初始体质量/g initial body weight	5.46±0.23	5.46±0.18	5.29±0.25	5.11±0.20	5.50±0.23	5.85±0.12
终末体质量/g final body weight	9.74±0.52	8.47±0.30	9.07±0.34	8.82±0.27	9.70±0.27	8.77±0.32
增重率/% WGR	78.93±2.63 ^b	55.01±1.44 ^a	73.16±3.18 ^b	74.37±3.68 ^b	79.04±4.47 ^b	49.89±3.20 ^a
初始体长/mm initial length	46.18±0.56	45.79±0.48	46.12±0.71	44.80±0.37	46.29±0.57	46.54±0.29
终末体长/mm final length	52.46±0.85	50.45±0.55	51.76±0.87	50.31±0.52	52.24±0.46	49.99±0.46
初始体宽/mm initial width	13.66±0.85	13.46±0.18	13.63±0.26	13.26±0.15	13.67±0.19	13.95±0.19
终末体宽/mm final width	15.84±0.24 ^b	15.13±0.15 ^{ab}	15.61±0.25 ^{ab}	14.98±0.15 ^a	15.87±0.15 ^b	15.06±0.09 ^a
特定增长率/(%/d) SGR	0.96±0.23 ^b	0.73±0.04 ^a	0.90±0.20 ^b	0.91±0.22 ^b	0.95±0.25 ^b	0.66±0.06 ^a
出肉率/% MY	12.40±1.88	12.64±1.20	12.07±0.87	12.47±1.43	12.53±1.26	12.69±0.76
肝胰腺指数/% HSI	6.63±0.96 ^a	6.65±0.56 ^a	7.53±0.94 ^b	6.12±0.57 ^a	6.59±0.79 ^a	6.17±0.70 ^a
性腺指数/% GSI	4.57±0.83	4.88±0.90	4.80±0.88	5.19±1.34	5.21±1.12	4.54±0.56

注：同行数据肩标不同小写字母表示差异显著(P<0.05)，下同
Notes: in the same row, values with different lowercase letters superscripts mean significant difference (P<0.05), the same below

表内文字均需中英文对照

量/单位
量名称的英文对照

表内出现的各种符号、上标等，均需补充表注解

表注释，需中英文对照

如果表格过长，并且较窄，建议用双列表，中间用双实线隔开

表 2 2016—2018 年山东半岛南部海域鱼类种类组成

Tab. 2 Fish species composition in the waters off southern Shandong Peninsula from 2016 to 2018

编号 number	种类 species	编号 number	种类 species
1	鳀 <i>Engraulis japonicus</i>	15	黄鲫 <i>Setipinna taty</i>
2	蓝点马鲛 <i>Scomberomorus niphoniuis</i>	16	孔鲷 <i>Okamejei kenojei</i>
3	鲈 <i>Scomber japonicus</i>	17	绿鳍马面鲀 <i>Thamnaconus septentrionalis</i>
4	青鳞沙丁鱼 <i>Sardinella zunasi</i>	18	鲹 <i>Mitschthys mitus</i>
5	白姑鱼 <i>Argyrosomus argentatus</i>	19	褐牙鲷 <i>Paralichthys olivaceus</i>
6	半滑舌鲷 <i>Cynoglossus semilaevis</i>	20	石斑鱼 <i>Epinephelus</i> sp.
7	大黄鱼 <i>Larimichthys crocea</i>	21	石鲮 <i>Kareius bicoloratus</i>
8	大头狗母鱼 <i>Trachinocephalus myops</i>	22	鲷 <i>Liza haematocheila</i>
9	大头鳕 <i>Gadus macrocephalus</i>	23	网纹狮子鱼 <i>Liparis chefuensis</i>
10	带鱼 <i>Trichiurus lepturus</i>	24	细纹狮子鱼 <i>Liparis tanakae</i>
11	短鳍红娘鱼 <i>Lepidotrigla microptera</i>	25	小黄鱼 <i>Larimichthys polyactis</i>
12	二长棘鲷 <i>Paerargyrops edita</i>	26	大银鱼 <i>Protosalanx hyalocranius</i>
13	凤鲙 <i>Coilia mystus</i>	27	星康吉鲷 <i>Conger myriaster</i>
14	黄鲛鲷 <i>Lophius litulon</i>	28	银鲳 <i>Pampus argenteus</i>

图的要求:

为方便审稿、编辑、阅读,提高论文发表质量,图要直观、简明、清晰,只看图、图题和图例,不阅读正文,就可以理解图的含义。

图的大小要符合本刊的要求,格式体例标注要符合国家出版规范,具体要求如下:

1.投稿文件中,可使用能辨认图内信息的截图。

文章排版**必须提供矢量图**,可于文章返修或核对时打包返回,常用的格式有 eps、emf、wmf、ai、cdr 等。(矢量图里包含的所有线条、文字、锚点、填充等都可以在 ai 或 cdr 等绘图软件中单独选中并修改,无论放大缩小多少倍都不会失真。通常用的统计软件都可以导出以上格式。如果用 visio、excel、ppt 等常用软件做的统计图,可直接提供源文件)。电镜或显微镜等照片,请直接提供原照片(jpg、tif 格式),要求每张照片单独成张,照片中的线、点、箭头、文字等是可编辑的。

2.图的尺寸一般为宽7.7~8.0 cm(半栏)或宽16.5~17.0 cm(通栏)。

3.图中文字的字号字体:

图中字号为6号宋体,英文、数字为 Times New Roman。注意区分上下标、正斜体、大小写等。

图中所有标记内容(横坐标、纵坐标、图例、图注等)均需**中英文对照**。图中说明性文字尽量少,如需要,可作为图注放在图题下面。

图中的数据、方程等要与文中一致。

图中采用的不同图例之间**反差要明显**,易与分辨。如标记很难分辨,请制作彩色图件。

4.图的**横、纵坐标**需符合规范,包括中英文标目、单位(如有)。

如,“时间/d time”;“存活率/% survival rate”;“磷酸盐浓度/(mg/L) concentration of phosphate”;“吸光度 absorbance”

附样图:

1.曲线图

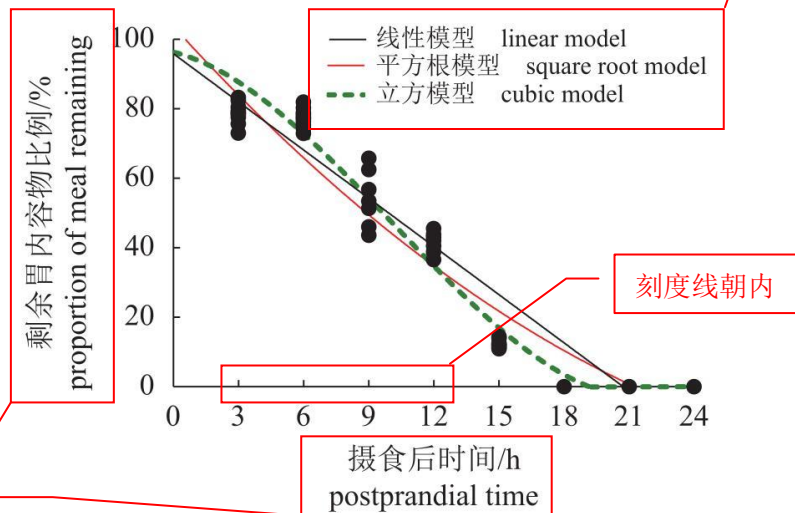


图2 黄条鲷幼鱼胃排空曲线的三种数学模型拟合

Fig. 2 Mathematical models for gastric evacuation in juvenile *S. aureovittata*

横纵坐标标题,按照:
“量/单位
量的英文对照”
这样的格式表示

2.柱形图

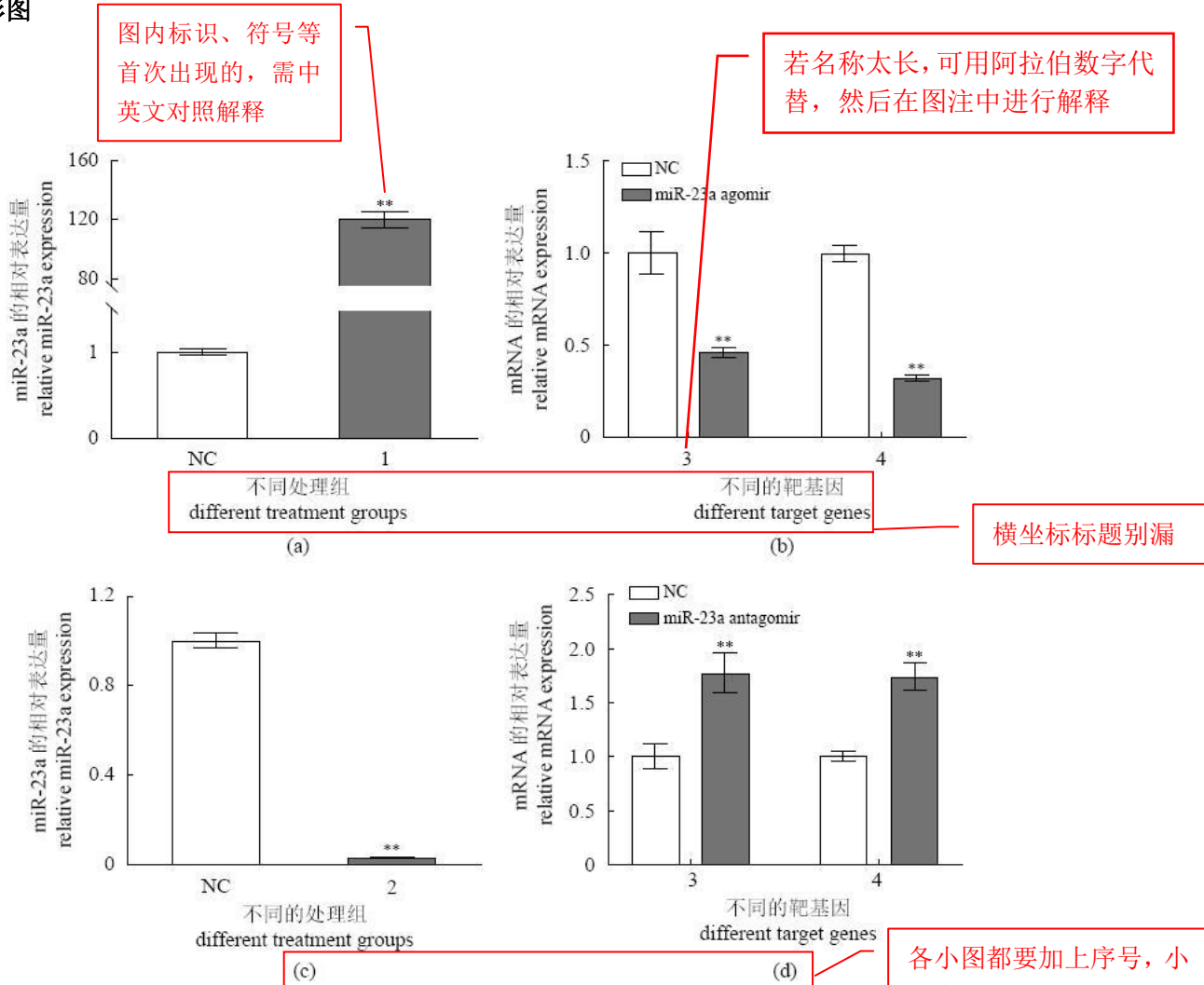


图 5 miR-23a 靶向 *tbk1* 和 *glut1*

miR-23a agomir 转染 CIK 细胞后，qPCR 检测 miR-23a (a) 和靶基因 *tbk1*、*glut1* (b) 的表达；miR-23a antagonist 转染 CIK 细胞后，qPCR 检测 miR-23a (c) 和靶基因 *tbk1* 和 *glut1* (d) 的表达。NC. 阴性对照，1. miR-23a agomir，2. miR-23a antagonist，3. *tbk1*，4. *glut1*；“*”代表显著差异， $P < 0.05$ ；“**”代表极显著差异， $P < 0.01$ ，下同

Fig. 5 miR-23a targets *tbk1* and *glut1*

Expression of miR-23a (a) and target genes *tbk1* and *glut1* (b) by qPCR after miR-23a agomir was transfected to CIK cells; expression of miR-23a (c) and target genes *tbk1* and *glut1* (d) by qPCR after miR-23a antagonist was transfected to CIK cells. NC. negative control, 1. miR-23a agomir, 2. miR-23a antagonist, 3. *tbk1*, 4. *glut1*; “*” represents significant difference, $P < 0.05$, “**” represents very significant difference, $P < 0.01$, the same below

3.电泳图

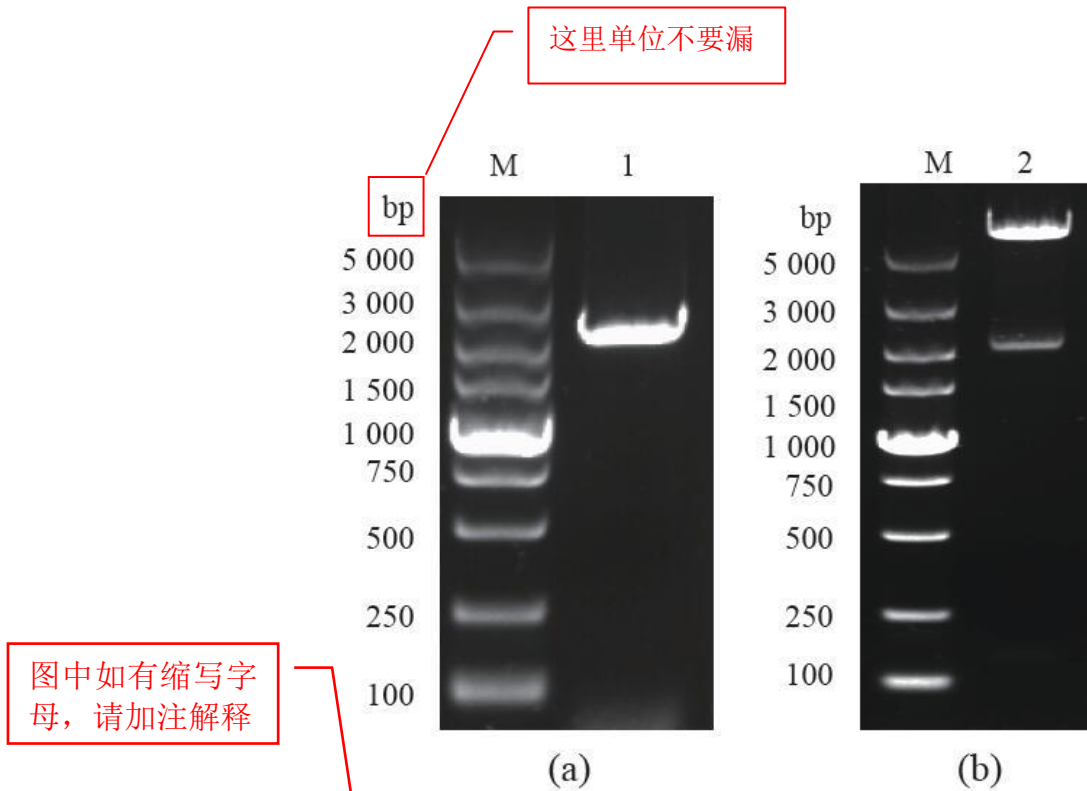


图 3 GCRV-AH528 S6 的 PCR 扩增和克隆

(a) GCRV-AH528 S6 的 PCR 扩增, (b) GCRV-AH528 S6 的双酶切鉴定; M. DL5000 DNA marker, 1. GCRV-AH528 S6, 2. *Hind* III 和 *Xho* I 酶切的表达质粒 pET32a-S6

Fig. 3 PCR amplification and cloning of GCRV-AH528 S6

(a) PCR amplification of GCRV-AH528 S6, (b) restriction enzyme digestion of the GCRV-AH528 S6; M. DL5000 DNA marker, 1. GCRV-AH528 S6, 2. enzyme digestion of pET32a-S6 by *Hind* III/*Xho* I

4. 地图

地图是国家版图最主要的表现形式，反映国家的主权范围，具有严肃的政治性、严密的科学性和严格的法定性。按照国家有关规定，地图在公开前应进行审核、需使用标准地图、不得使用未经审核的地图或者境外地图、不得在互联网地图上标注涉密、敏感等信息。

作者论文内使用的地图，请务必进入（<http://bzdt.ch.mnr.gov.cn/index.html>）标准网站下载。

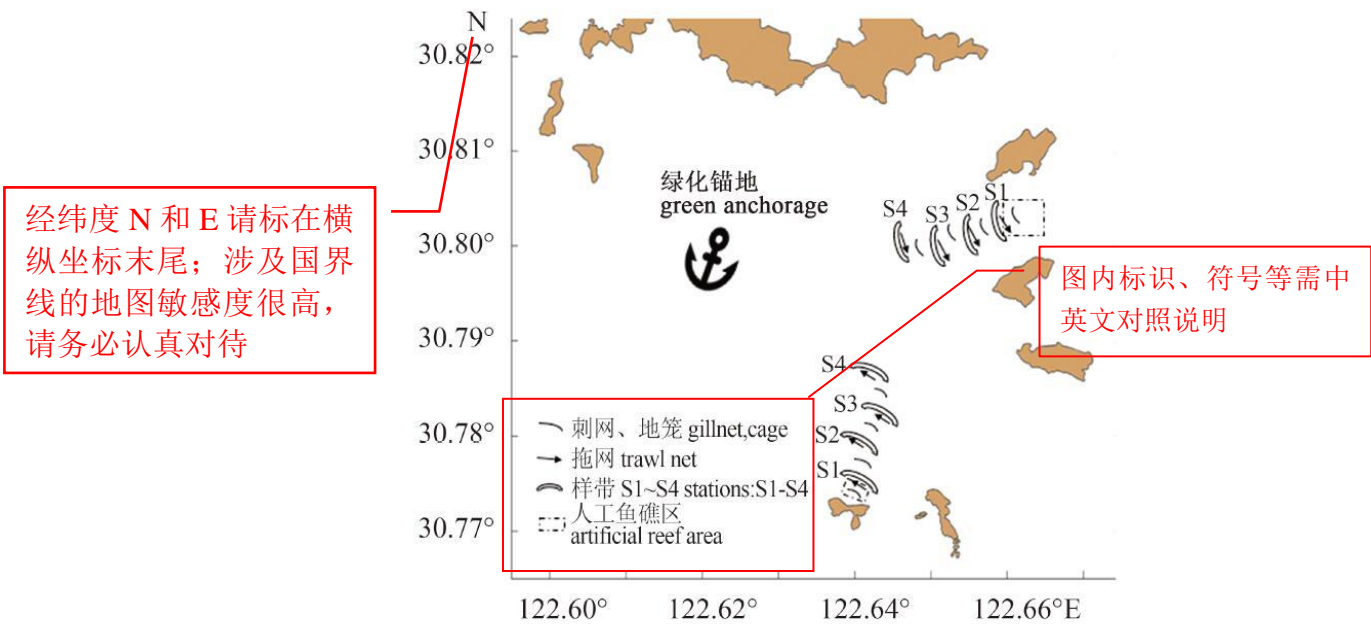


图 1 各网具采样站点分布

Fig. 1 Distribution of sampling stations for three sampling tools

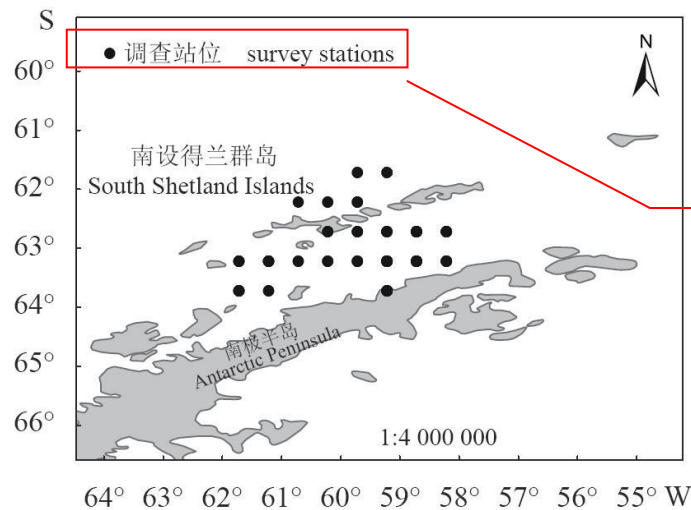


图 1 南极南设得兰群岛附近海域调查站位示意图

Fig. 1 Survey stations in the adjacent area around the South Shetland Islands, Antarctica

5. 进化树图

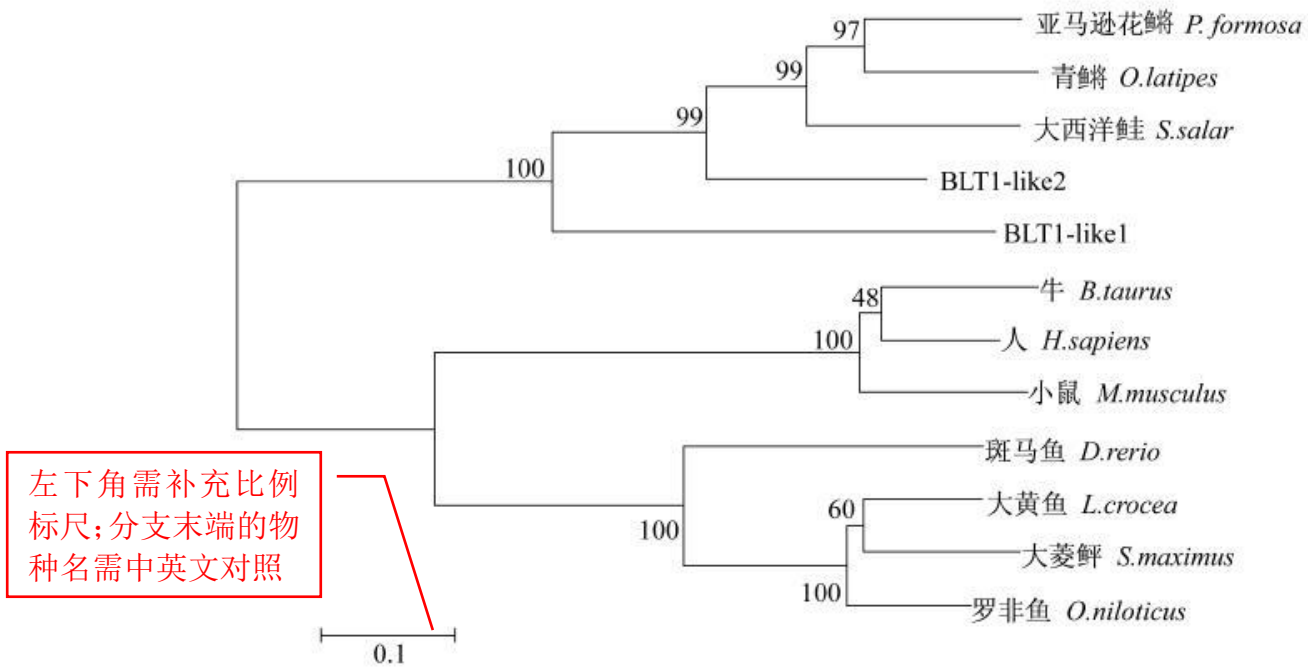


图 3 斑马鱼与其他物种的 BLT1 进化树

Fig. 3 The phylogenetic tree of BLT1 from zebrafish and other species

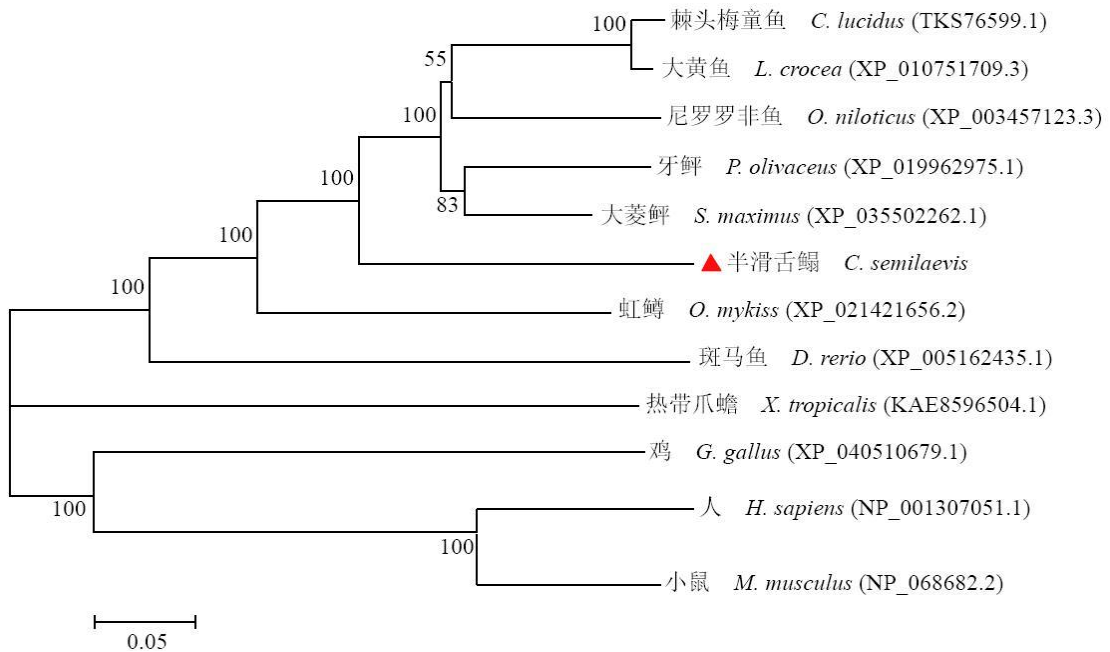


图 3 基于不同物种的 PMELB 氨基酸序列构建的邻接系统发育树

Fig. 3 Neighbour-joining phylogenetic tree constructed based on the amino acid sequences of PMELB from different species

6. 色谱图、光谱图

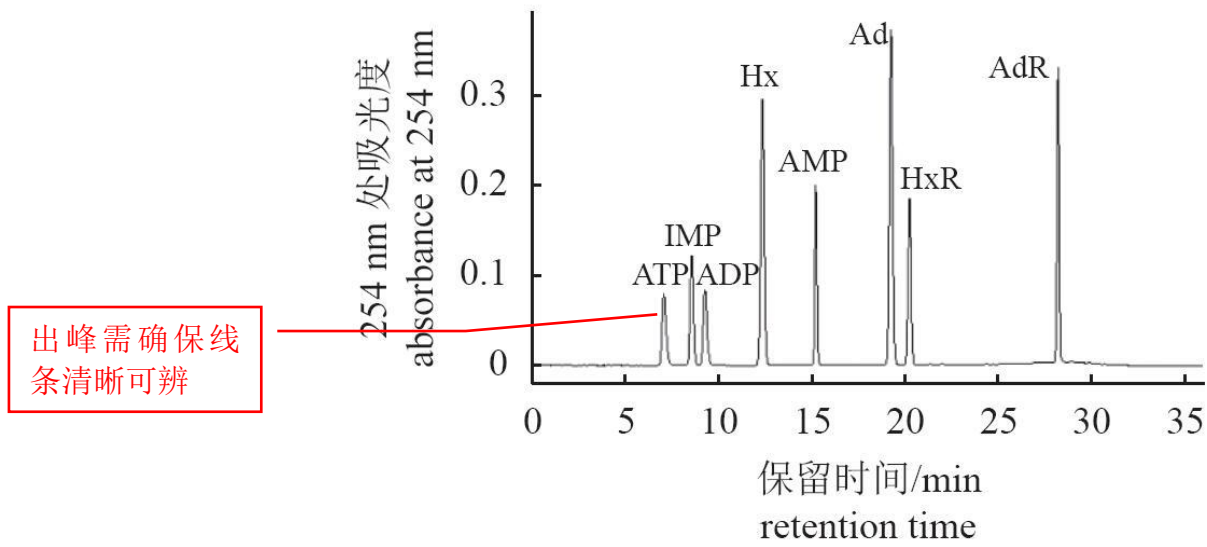


图 1 ATP 关联物标准品 HPLC 色谱图

Fig. 1 Chromatogram of ATP-related compounds standards

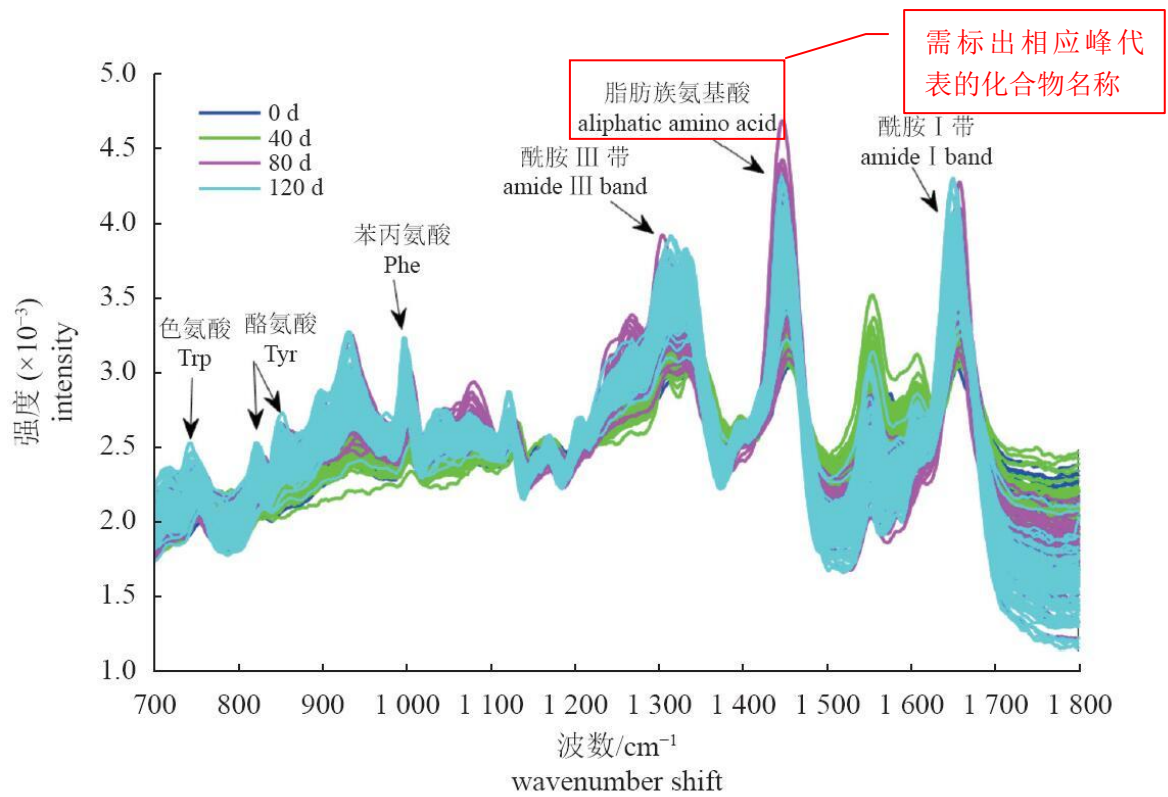


图 2 不同脆化时间脆肉草鱼的拉曼光谱图

Fig. 2 Raman spectra of crispy *C. idella* with different crisping time

7.氨基酸序列图

氨基酸序列中的字母请确保清晰可辨

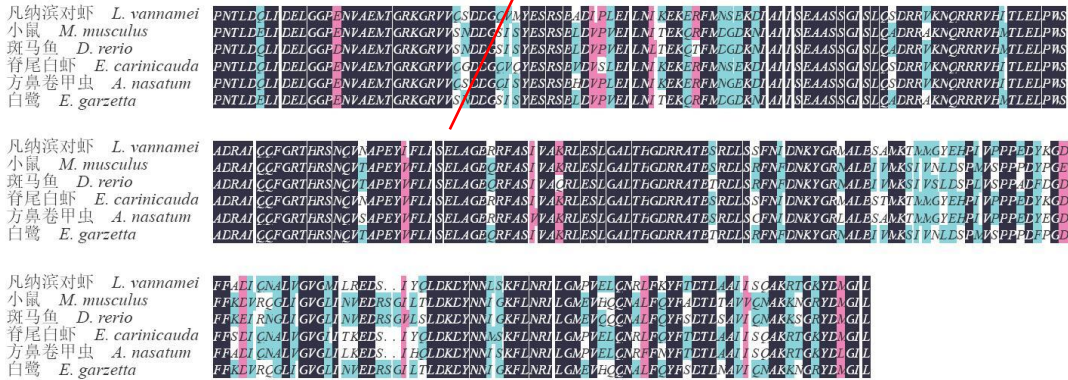


图2 脊尾白虾与其他物种 SBNO1 Helicase_C_4 结构域的氨基酸多序列对比

黑色.高度相似区域, 红色.较高相似区域, 蓝色.相对相似区域

Fig. 2 Multiple sequence alignment of Helicase_C_4 domain of SBNO1 in *E. carinicauda* and other species

Black. highly similar domain, red. not very similar domain, blue. relatively similar domain

图内标识、符号均需中英文对照解释

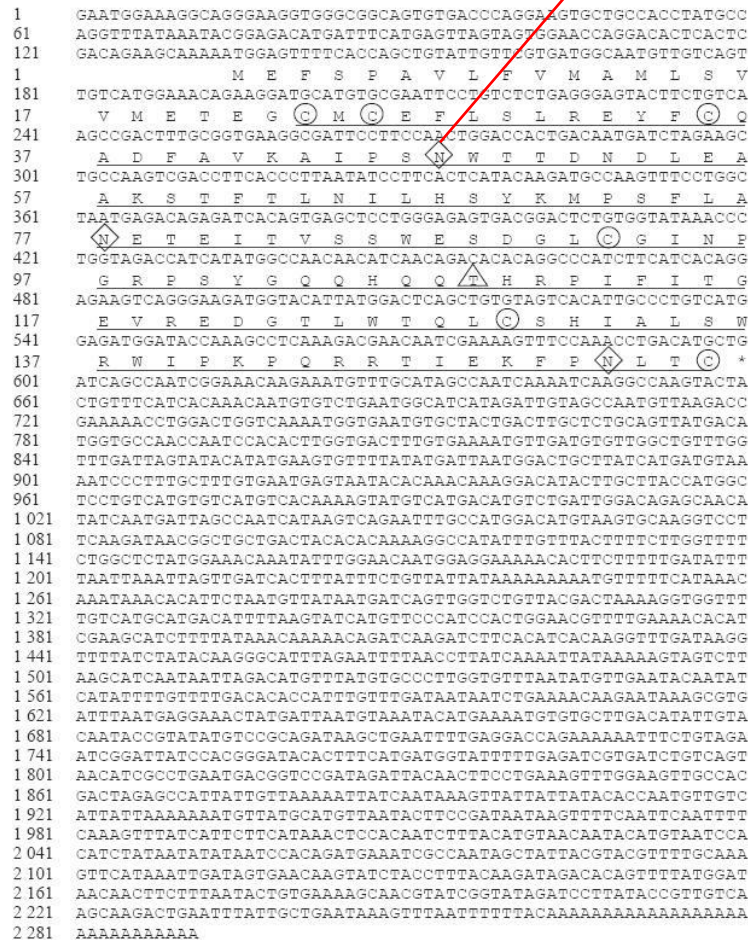


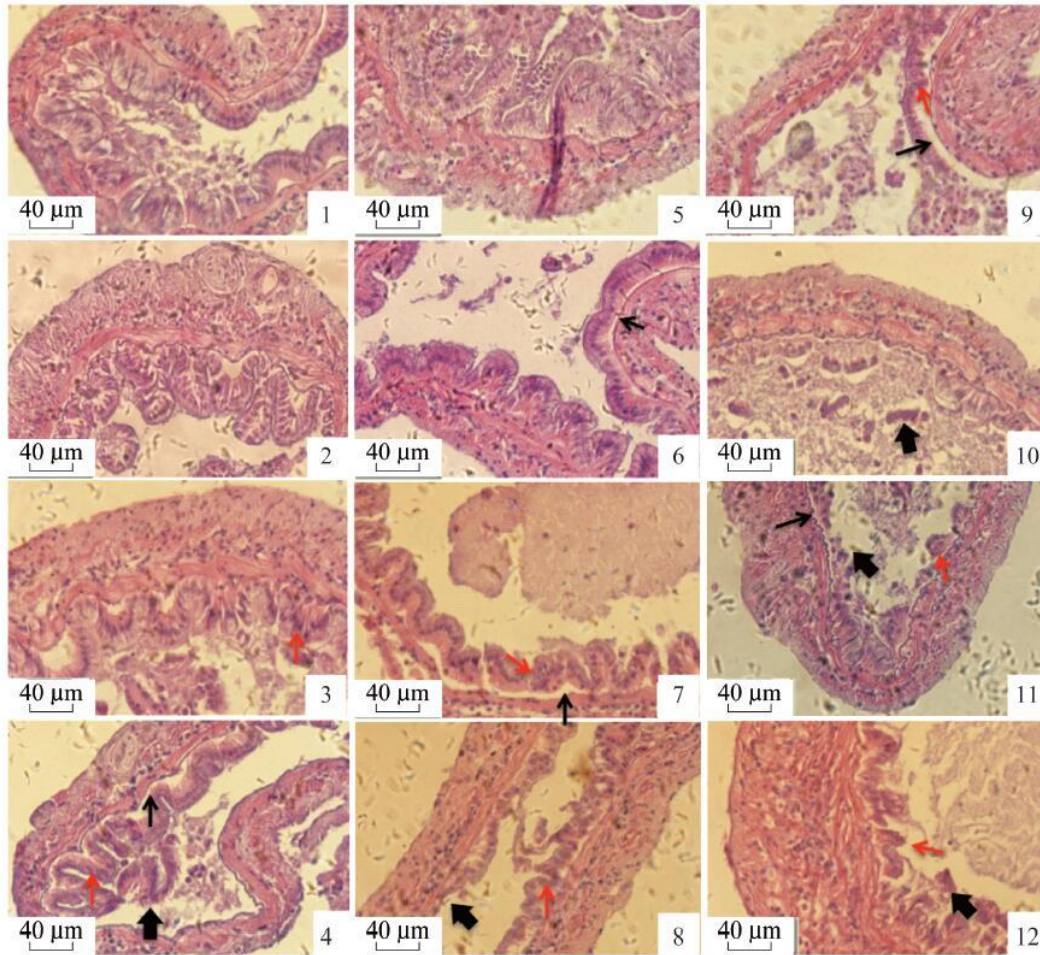
图1 TIMP 核苷酸序列和推导的氨基酸序列

下划线为 NTR 结构域, 半胱氨酸残基已用圆圈标示出, N-糖基化和 O-糖基化位点分别用菱形和三角形标示出

Fig. 1 Nucleotide sequence and deduced amino acid sequence of TIMP

The NTR domain was underlined. The cysteine residues were marked with circle. The N-glycosylation and O-glycosylation sites were marked with diamonds and triangles, respectively

8.图版



图版的序号
用罗马数字

图版 II 对虾肠道组织切片

图中 1~4, 5~8 及 9~12 分别表示对虾肠道在低剂量、中剂量及高剂量弧菌处理下 8、16、32 及 40 h 组织形态变化。其中黑细箭头表示上皮细胞与基底膜的分离, 红细箭头表示细胞质明显变薄至肠道上皮细胞核肥大, 核边缘模糊不清, 黑粗箭头表示上皮细胞损伤并脱落

Plate II Histological examination of infected shrimp midguts

Histological examination of 1-4, 5-8 and 9-12 indicates the damage degree in shrimp mid-gut infected by low-dose *Vh*, medium-dose *Vh* and high-dose *Vh* at 8, 16, 32 and 40 h. Arrows indicate the pathological changes; thin black arrows is where the intestinal epithelial cells detach from the basement membrane, thin red arrows reveal the occurrence of basophilic hypertrophied nuclei with a reduced volume of eosinophilic cytoplasm, fat black arrows is where the intestinal epithelial cells have disintegrated

图版中小图序号用阿拉伯数字表示, 放在右下角; 左下角放比例标尺; 图与图间距 1 mm; 图中各种标注都请在注解中解释

9. 流程示意图

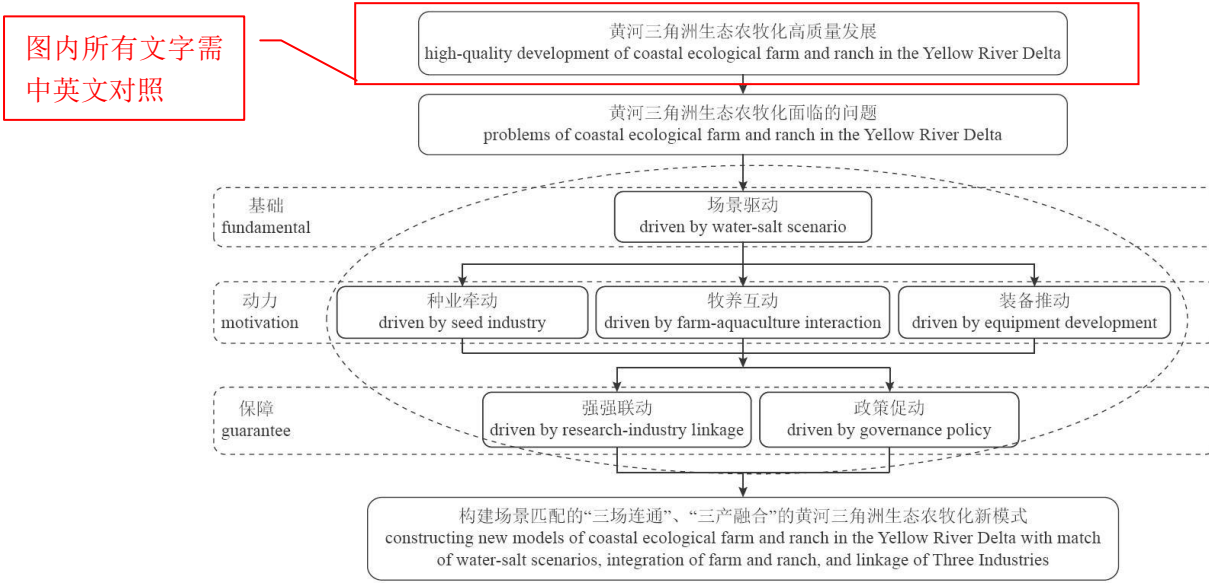


图 1 黄河三角洲生态农牧业高质量发展多元驱动逻辑图

Fig. 1 Multiple driving logic diagram of high-quality development of coastal ecological farm and ranch in the Yellow River Delta

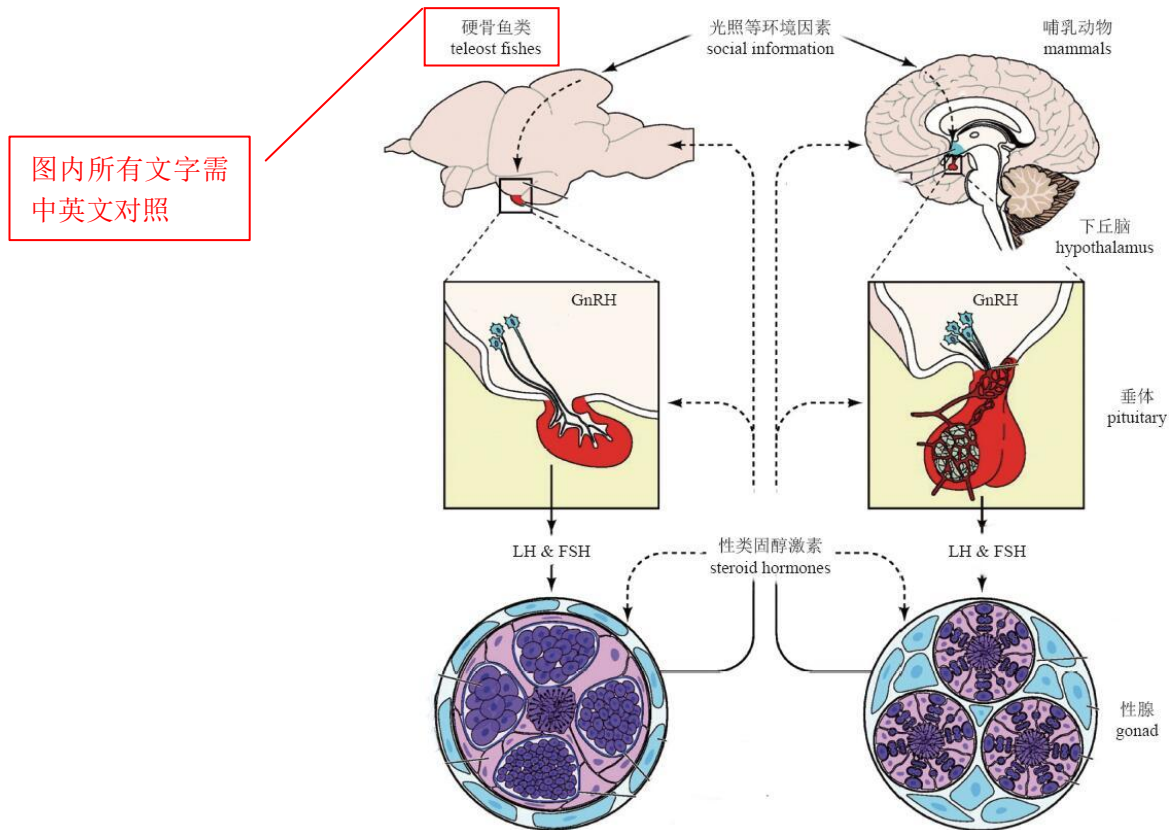


图 6 脊椎动物下丘脑-垂体-性腺轴 (HPG) 调节示意图^[77]

GnRH. 促性腺激素释放激素, LH. 促黄体激素, FSH. 卵泡刺激素

Fig. 6 Schematic representation of the hypothalamic-pituitary-gonadal axis in vertebrate^[77]

GnRH. gonadotropin-releasing hormone, LH. luteinizing hormone, FSH. follicle stimulating hormone

正斜体、大小写要求：

本刊对论文中正体与斜体的格式暂作如下规定：

1.物种的学名：菌株的属、种用拉丁文斜体，属的首字母大写，其余小写；属以上用拉丁文正体；病毒一律用正体，首字母大写。

2.限制性内切酶：内切酶前3个字母用斜体，后面的字母和编码正体平排，如 *Bam*H 1、*Hind* III、*Pst* I、*Sau*3AI 等。

3.氨基酸和碱基的缩写：氨基酸缩写用3个字母表示时，仅第一个字母大写，其余为小写，全部正体；用单字母表示时为大写正体。碱基缩写均为大写正体；表示基因的字母全部用斜体。

4.质粒和载体：质粒一律用正体，首字母 p 为小写，后面字母和数字平排，如 pBR322、pGBKT-ipaB 等。

5.量、单位：英文缩写或单词表示变量时（在公式中等）用斜体表示，其余时候用正体表示。

补充要求：

正文中的数字，请小数点前后逢三空一，例：1 234.567 8。

涉及到本研究而出现的物种，中文请用正确中文物种名，并补充拉丁学名，学名可借鉴我国正规出版的渔业字典、词典以及相关正规网站。后文再次出现时，拉丁学名可省略（图表内需中英文对照的除外）。

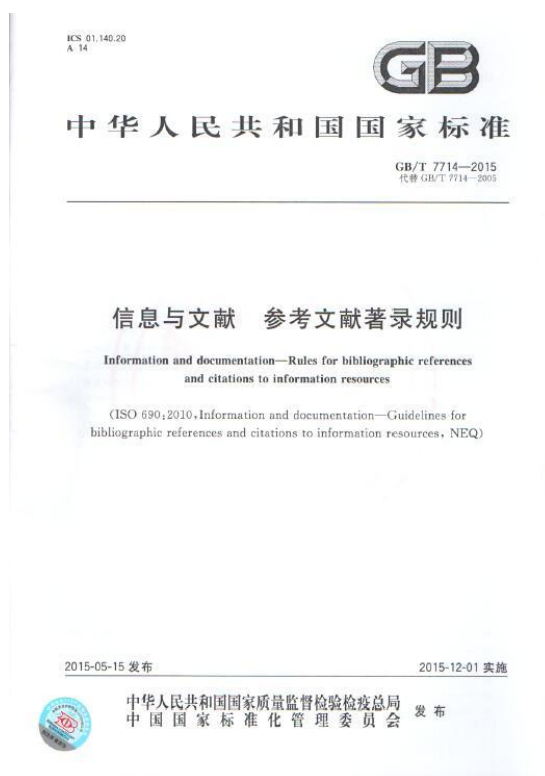
通信作者如果愿意，请提供一寸电子照片，同时提供200字以内的简要个人学术影响介绍，方便期刊后期宣传呈现需要，提高作者知名度。

正文中出现的标点，请注意用全角；英文对照内的标点，请用半角。

参考文献格式（顺序—编码制）：

- [1] McKenzie, R L, Aucamp P J, Bais A F, *et al.* Changes in biologically-active ultraviolet radiation reaching the Earth's surface [J]. *Photochemical and Photobiological Sciences*, 2007, 6(3):218-231. DOI: 10.1039/b700017k.
- [2] 冯子慧, 李信书, 魏华, 等. 紫外辐射对条斑紫菜不同部位藻体光化学效率和光合色素含量的影响[J]. *水产学报*, 2011, 35(3): 387-394.
Feng Z H, Li X S, Wei H, *et al.* Effects of UVR on the photochemical efficiency and photosynthetic pigment content of different blade parts in *Porphyra yezoensis* [J]. *Journal of Fisheries of China*, 2011, 35(3): 387-394(in Chinese).

请参照 GB/T 7714-2015 《信息与文献参考文献著录规则》编排参考文献。



英文题目

按单位级别从小到大，用逗号隔开

作者¹，作者²，作者^{1,3*}
(1.作者单位，市 邮编, China;

2. *College of Fisheries and Life Science, Shanghai Ocean University, Shanghai* 201306, China;

3. ××××××)

Abstract: [目的] ××××××; [方法] ××××××; [结果]××××××; [结论] ×××××× (1000字，中英文摘要不用一一对应，英文摘要可以扩展开写。背景介绍、实验方法、实验结果、结论、意义)。

Key words: ×××; ×××; ×××; ××× (3—8个)

Corresponding author:

Funding projects:

补充通信作者和资助项目的英文对照